

# Journal of Electrochemistry

---

Volume 17 | Issue 4

---

2011-11-28

## Indirect Electrochemical Reduction and Cotton Dyeing Process in Fe(III)-Oxalate-Calcium Gluconate System

Qing-Zhi WANG

Wei WANG

---

### Recommended Citation

Qing-Zhi WANG, Wei WANG. Indirect Electrochemical Reduction and Cotton Dyeing Process in Fe(III)-Oxalate-Calcium Gluconate System[J]. *Journal of Electrochemistry*, 2011 , 17(4): Article 16.

DOI: 10.61558/2993-074X.2869

Available at: <https://jelectrochem.xmu.edu.cn/journal/vol17/iss4/16>

This Article is brought to you for free and open access by Journal of Electrochemistry. It has been accepted for inclusion in Journal of Electrochemistry by an authorized editor of Journal of Electrochemistry.

# Fe( III)-草酸-葡萄糖酸钙媒质体系间接电化学还原及棉织物染色的研究

王清芝\*, 王 煣

(东华大学生态纺织科学技术教育部重点实验室, 上海 201620)

**摘要:** 应用循环伏安法研究了 Fe( III)-草酸-葡萄糖酸钙媒质体系的电化学行为及其可能的反应机理。实验表明, Fe( II)-葡萄糖酸盐起着最终的还原作用。电解还原时间、工作电压和阴极面积这 3 个因素影响着电流效率, 在 Fe( III)-草酸-葡萄糖酸钙媒质体系中, 还原大红 R 的电流效率最高可达 89%, 其电解还原时间 10 min, 工作电压 4 V, 阴极面积 40 cm<sup>2</sup>。

**关键词:** 循环伏安; 电流效率; 工作电压; 阴极面积; 棉织物染色; Fe( III)-草酸-葡萄糖酸钙媒质体系

**中图分类号:** O646

**文献标识码:** A

还原染料用于棉织物染色有非常好的染色牢度<sup>[1]</sup>, 传统的保险粉还原染色污染严重, 采用 Fe-TEA 氧化还原络合体系还原染料已有许多研究<sup>[2-5]</sup>。Bechtold 等计算了染色效率, 研究隔膜和电极对电化学染色工艺的影响<sup>[5-8]</sup>, 并改进了介质体系<sup>[9-10]</sup>。但 TEA 仍有一定的腐蚀性, 会刺激眼睛和皮肤。Babu 等研究了 Fe( III)-草酸-葡萄糖酸钙的络合体系<sup>[11]</sup>。Kumar 等优化了该络合体系, 用碘量滴定法计算了 3 价铁离子的转化率, 并计算电流效率<sup>[5]</sup>。

还原染料间接电化学还原机理如图 1 所示, 媒介从阴极表面得到电子被还原, 而后媒介将电子转移给染料分子, 自身又被氧化。

对多数染料, 每还原 1 个染料分子需 2 个电子。染料分子的形成有 2 种途径: ① 2 个单阴离子染料分子生成 1 个可完全被还原的双阴离子染料, 再重新生成 1 分子氧化态染料; ② 单个染料分子发生单电子转移, 形成单阴离子染料分子, 然后又被还原为双阴离子染料分子。以蒽醌为例:

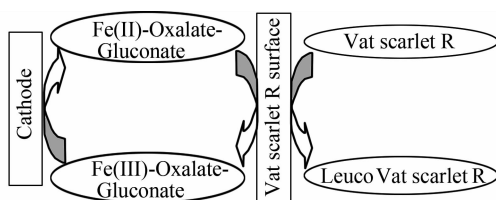
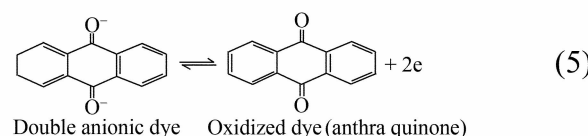
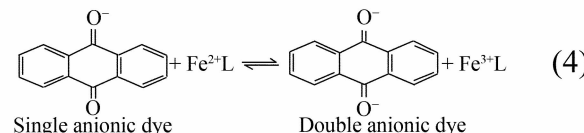
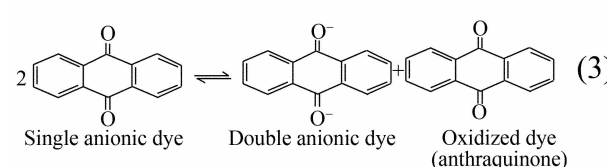
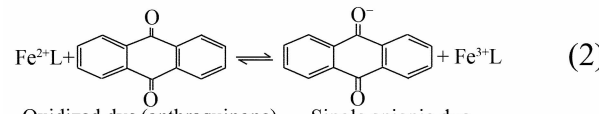


图 1 还原染料间接电化学还原机理

Fig. 1 Mechanism of the indirect electrochemical reduction of Vat scarlet R dyes

本文采用 Fe(III)-草酸-葡萄糖酸盐作为间接电化学还原的媒介体系,探索该媒介体系的可能的还原机理及其用于棉织物染色的最佳工艺.

## 1 实验部分

### 1.1 试剂与仪器

葡萄糖酸钙(99%),硫酸铁,还原大红 R,硫酸(98%),氢氧化钠,二水合草酸,均为分析纯. 电化学工作站 DF2002;电子天平 YP1200;纳米粒度仪 Zetasizer APS(英国马尔文公司);电热恒温磁力搅拌器 85-2;温度控制指示仪 WMZK-01;接触调压器 TDGC2-0.5KVA;恒温干燥箱 202V;单相电容运转电动机 JX50;干湿摩擦牢度仪 Y571B;电脑测色配色仪 SF600 PLUS(美国 DATA COLOR).

### 1.2 测 试

循环伏安曲线测试,3 电极体系以铂片作工作电极,玻碳电极为辅助电极,饱和甘汞电极为参比电极组成. 测定该体系电流效率和染色棉织物 K/S 值.

### 1.3 电 解

阴极液:NaOH、草酸、葡萄糖酸钙、硫酸铁和还原大红 R 染料的混合溶液(250 mL);阳极液:15 g/L H<sub>2</sub>SO<sub>4</sub>(250 mL). 电解装置由 Nafion117 隔膜(孔径 4 cm),石墨板(9 cm × 5 cm)与阴极、阳极组成. 通电 10 min 后,取出阴极液与待染棉织物(浴比 1:50)放入烧杯,染色时间 10 min,空气氧化 30 s,重复染色 5 次,水洗烘干即可.

## 2 结果与讨论

### 2.1 Fe(III)-草酸-葡萄糖酸钙体系的电化 学研究

图 2 示出 Fe(III)-草酸媒质在加入还原大红 R 染料(pH=8)前(a)后(b)的循环伏安曲线. 从图看出,添加染料后,曲线还原峰(b)负移约 50 mV,在此 pH=8 时,Fe(III)-草酸体系是稳定的,不会生成红褐色的 Fe(OH)<sub>3</sub> 沉淀.

图 3 给出 pH 为 12~13 的 Fe(III)-葡萄糖酸钙媒质体系添加染料前(a)后(b)的循环伏安曲线. 如图,络合媒介无染料时,CV 曲线不出现还原峰,添加染料之后在 -750 mV 处有一小的还原峰,这是因为该络合体系在如此 pH 值下的还原性较弱,于上述电位下也不容易还原染料,隐色体数量极少,棉织物无法上染.

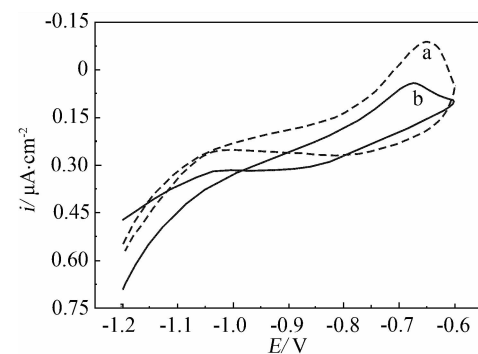


图 2 Fe(III)-草酸媒质体系(pH=8)添加还原大红 R 染料前(a)后(b)的循环伏安曲线

介质:35 mmol·L<sup>-1</sup> 草酸 + 9.6 mmol·L<sup>-1</sup> 硫酸铁溶液

Fig. 2 Cyclic voltammograms (CV) of the Fe(III)-oxalic acid without (a) and with (b) Vat scarlet R dyes Solution: 35 mmol·L<sup>-1</sup> oxalic acid + 9.6 mmol·L<sup>-1</sup> ferric sulfate (pH=8), scan rate: 40 mV·s<sup>-1</sup>

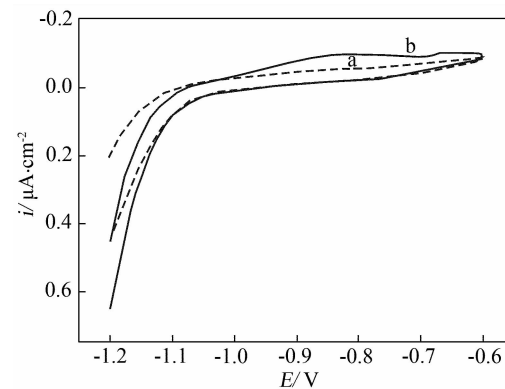


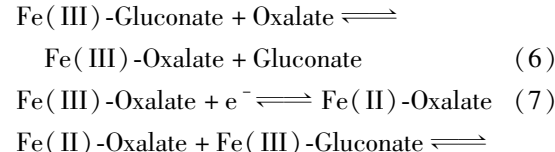
图 3 Fe(III)-葡萄糖酸钙络合媒介(pH=12~13)添加还原大红 R 染料前(a)后(b)的循环伏安曲线

Fig. 3 Cyclic voltammograms (CV) of the Fe(III)-calcium gluconate without (a) and with (b) Vat Scarlet R dyes

Solution: 24 mmol·L<sup>-1</sup> calcium gluconate + 9.6 mmol·L<sup>-1</sup> ferric sulfate (pH=12~13), scan rate: 40 mV·s<sup>-1</sup>

图 4 是 pH=13 的 Fe(III)-草酸-葡萄糖酸钙络合媒质体系添加染料前(a)后(b)的循环伏安曲线. 图中,添加染料后 CV 曲线呈现了一个还原峰. 实验表明,该络合体系较稳定,电解染色的效果较好,电流效率较高.

此时,可能发生了如下反应:



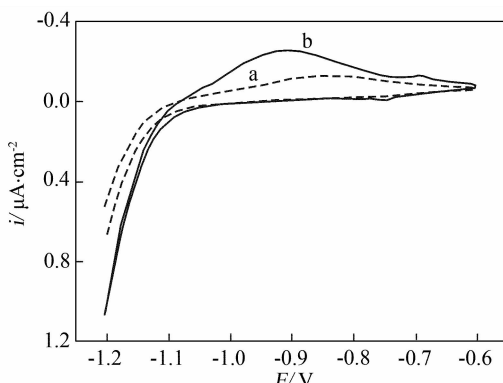
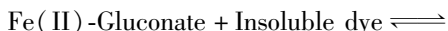
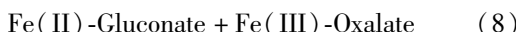


图 4 pH = 13 的 Fe( III )-草酸-葡萄糖酸钙络合媒质体系添加还原大红 R 染料前(a)后(b)的循环伏安曲线

Fig. 4 Cyclic voltammograms (CV) of the Fe( III )-oxalate-gluconate without (a) and (b) with Vat Scarlet R dyes (solution: 24 mmol·L<sup>-1</sup> calcium gluconate + 9.6 mmol·L<sup>-1</sup> ferric sulfate + 35 mmol·L<sup>-1</sup> oxalic acid (pH = 13), scan rate: 40 mV·s<sup>-1</sup>)



通电时, Fe( III )与葡萄糖酸钙的络合物和草酸盐反应,生成 Fe( III )-草酸络合物,该络合物得到电子后形成 Fe( II )-草酸盐,继而经反应(8)形成 Fe( II )-葡萄糖酸盐络合物,最后由反应(9)得到 Fe( III )-葡萄糖酸络合物与可溶性染料。

## 2.2 电解实验

表 1 列出 3 因素 5 水平的正交实验表格,电解实验使用还原大红 R 上染棉织物,当阴极电解液的 pH = 12 ~ 13 时,还原染料染色的效果较好。溶

表 1 正交实验表

Tab. 1 Orthogonal experiments table

Factor	Level				
	1	2	3	4	5
Reduction time/min	2	5	10	15	20
Working voltage/V	1	2	3	4	5
Cathode area/cm <sup>2</sup>	10	20	30	40	50

液碱浓度太高会形成氢氧化铁沉淀,严重影响染色的效果。媒质中草酸、葡萄糖酸钙和硫酸铁按 30 : 20 : 7 (by mol), 还原大红 R 的浓度为 4 g·L<sup>-1</sup>, 不同因素的电解电流效率列于表 2。

表 2 不同因素的电解电流效率

Tab. 2 Electrolysis current efficiency of different factors

Factor	1	2	3	4	5
	Current efficiency (η/%)				
Reduction time/min	20.5	45.7	82.2	50.8	38.1
Working voltage/V	53.4	60.5	71.2	84.5	53
Cathode area/cm <sup>2</sup>	0.8	32.9	49.3	89	41

实验表明:电解还原时间太短,染料还原的隐色体数量较少,棉织物上染率小,染料效率低。但如电解还原时间太长,则因染料的还原达到极限,电流消耗于电解水副反应,引起工作电压升高,还原的隐色体数量增多。而工作电压过大,水电解副反应可能占据主导地位,电解电流效率反而下降。此外,电极需有足够大的面积,才能保持隐色体数



图 5 Fe( III )-草酸-葡萄糖酸钙媒质体系间接电化学还原染色棉织物图片

Fig. 5 Cotton fabric pictures of indirect electrochemical reduction of dyes in Fe( III )-oxalate-calcium gluconate medium

量,棉织物可顺利着色.本电化学方法对多种染料都适用,且耐洗牢度均可达到4~5级,耐干摩擦牢度5级,耐湿摩擦牢度4~5级,图5示出部分品种还原染料上染棉织物的照片.

### 3 结 论

在Fe(III)-草酸-葡萄糖酸钙络合媒介体系(草酸、葡萄糖和硫酸铁按30:20:7(by mol)+4 g·L<sup>-1</sup>还原大红R)中,其可能的还原机理是,Fe(II)-葡萄糖酸络合物起着最终的还原作用,并形成可溶性染料.设定电解还原时间10 min、工作电压4 V、电极面积30 cm<sup>2</sup>,电解电流效率最高达89%,棉织物上染达到最佳效果.

### 参考文献(References):

- [1] Kulandainathan M A, Muthukumaran A, Patil K, et al. Potentiosataic studies on indirect electrochemical reduction of vat dyes [J]. Dyes and Pigments, 2007, 73(1): 47-54.
- [2] Roessler A, Jin X N. State of the art technologies and new electrochemical methods for the reduction of vat dyes [J]. Dyes and pigments, 2003, 59(3): 223-235.
- [3] Kulandainathan M A, Patil K, Muthukumaran A, et al. Review of the process development aspects of electrochemical dyeing; its impact and commercial applications [J]. Coloration Technology, 2007, 123(3): 143-151.
- [4] Bozic M, Kokol V. Ecological alternatives to the reduction and oxidation processes in dyeing with vat and sulphur dyes [J]. Dyes and Pigments, 2008, 76(2): 299-309.
- [5] Kumar R S, Babu K F, Noel M, et al. Redox mediated electrochemical method for vat dyeing in ferric-oxalate-gluconate system: process optimization studies [J]. Journal of Applied Electrochemistry, 2009, 39 (12): 2569-2577.
- [6] Bechtold T, Burscher E, Turcanu A, et al. Indirect electrochemical reduction of dispersed indigo dyestuff [J]. Journal of the Electrochemical Society, 1996, 143 (8): 2411-2416.
- [7] Bechtold T, Burtscher E, Kühnel G, et al. Electrochemical reduction processes in indigo dyeing [J]. Journal of the Society of Dyers and Colourists, 1997, 113(4): 135-144.
- [8] Bechtold T, Burscher E, Bobleter O, et al. Optimization of multi-cathode membrane electrolyzers for the indirect electrochemical reduction of indigo [J]. Chemical Engineering & Technology, 1998, 21(11): 877-880.
- [9] Bechtold T, Turcaun A. Fe<sup>3+</sup>-D-gluconate and Ca<sup>2+</sup>-Fe<sup>3+</sup>-D-gluconate complex as mediator for indirect cathodic reduction of vat dyes—Cyclic voltammetry and batch electrolysis [J]. Journal of Applied Electrochemistry, 2004, 34(12): 1221-1227.
- [10] Kulandainathan M A, Patil K, Muthukumaran A, et al. Review of the process development aspects of electrochemical dyeing: its impact and commercial applications [J]. Coloration technology, 2007, 123 (3): 143-145.
- [11] Babu K F, Kumar R S, Kulandainathan M A, et al. Ferric-oxalate-gluconate based redox mediated electrochemical system for vat dyeing [J]. Journal of Applied Electrochemistry, 2009, 39 (7): 1025-1031.

## Study on Indirect Electrochemical Reduction and Cotton Dyeing Process in Fe( III ) -Oxalate-Calcium Gluconate System

WANG Qing-zhi \* , WANG Wei

(Key Laboratory of Science & Technology of Eco-Textile, Ministry of Education,  
Donghua University, Shanghai 201620, China)

**Abstract:** The electrochemical behavior and possible reaction mechanism in Fe( III )-oxalate-calcium gluconate system were studied by cyclic voltammetry. The results showed that Fe( II )-gluconate was the final reductant. The reduction time, the working voltage and the cathode area influenced the current efficiency. The high current efficiency of 89% for the indirect electrochemical reduction of Vat Scarlet R could be achieved with reduction time of 10 min, working voltage of 4 V and cathode area of 40 cm<sup>2</sup> in Fe( III )-oxalate-calcium gluconate system.

**Key words:** cyclic voltammetry ( CV ); current efficiency; working voltage; cathode area; Fe( III )-oxalate-calcium gluconate system; cotton dyeing